

# Travaux dirigés- Série 2: Électricité II

Saidi

Faculté des Sciences, Rabat

September 20, 2013

**Abstract**

Electricité II  
Travaux Dirigés: Série 2

**Exercice I:** *nappe de courant et discontinuité de  $\vec{B}$*

On considère une nappe plane conductrice de courant, d'épaisseur  $\varepsilon$  négligeable et traversée par un courant uniforme. On prend, la nappe dans le plan  $xOy$ , avec  $-\frac{\varepsilon}{2} \leq z \leq \frac{\varepsilon}{2}$ , et le vecteur densité de courant  $\vec{j} = \varepsilon \vec{j}_s$  avec courant surfacique  $\vec{j}_s = j_s \vec{e}_x$ .

- 1) Faire un schéma d'illustration,
- 2) En utilisant les règles de symétrie, déterminer:
  - a) Les variables dont dépendent le champ d'induction magnétique  $\vec{B}$ ,
  - b) Montrer que le champ  $\vec{B}$  est dirigé suivant  $\vec{e}_y$  (c'est à dire  $\vec{B} = B \vec{e}_y$ ),
- 3) Pour calculer le composante B, on utilise le théorème d'Ampère,
  - a) Donner la forme de la courbe d'Ampère  $\Gamma$ , justifier,
  - b) En déduire l'induction magnétique  $\vec{B}$  en tout point  $M(x, y, z)$ ,
- 4) Calculer la valeur de  $\vec{B}$  pour le cas  $z = 0$ ,
- 5) Montrer que  $\vec{B}$  est discontinue,
- 6) Déterminer à une constante près le potentiel vecteur  $\vec{A}$  en tout point  $M$  de l'espace,
- 7) En déduire la constante dans le cas où  $\vec{A}$  est nul à l'origine.

**Exercice II:** *Solénoïde infini et calcul potentiel vecteur  $\vec{A}$*

On considère un solénoïde  $\mathcal{S}$  infini d'axe  $\vec{OZ}$ , de base circulaire de rayon  $R$ , parcouru par un courant permanent  $I$  et ayant  $N$  spires par unité de longueur. On se propose de déterminer le champ d'induction magnétique  $\vec{B}(M)$  et le potentiel vecteur  $\vec{A}(M)$  en tout point  $M$  de l'espace.

- 1) Faire un schéma d'illustration,
- 2) En utilisant les règles de symétrie, déterminer:
  - a) Les variables dont dépendent le champ d'induction magnétique  $\vec{B}$ ,
  - b) La direction du champ  $\vec{B}$ ,
- 3) Pour calculer l'expression explicite du champ d'induction magnétique, on utilise le théorème d'Ampère,
  - a) Donner la forme de la courbe d'Ampère  $\Gamma$ , justifier le choix,
  - b) En déduire l'induction magnétique  $\vec{B}$  en tout point  $M(x, y, z)$ ,
- 4) Montrer que  $\vec{B}$  est discontinue,

Pour déterminer le potentiel vecteur  $\vec{A}(M)$ , on utilisera une relation donnant sa circulation sur un contour fermé  $C$  que l'on déterminera.

- 5) En partant de la relation  $\text{div } \vec{B} = 0$ , montrer que  $\oint_C \vec{A} \cdot d\vec{l} = \iint_S \vec{B} \cdot d\vec{S}$ ,
- 6) En utilisant les règles de symétries de la distribution de courant, donner:
  - a) La direction du champ  $\vec{A}$  et les variables dont ils dépendent,
  - b) Le choix de la courbe  $C$  pour le calcul de la circulation de  $\vec{A}$ , justifier,
- 7) Déterminer le potentiel vecteur  $\vec{A}$  en tout point de l'espace

**Exercice III:** *Force magnétique et effet Hall*

On veut déterminer le nombre  $n_e$  d'électrons de conduction que possède un atome de cuivre en utilisant l'effet Hall. Pour cela, on considère une plaquette rectangulaire  $ABCD$  de cuivre dans le plan  $xOy$ , de longueur  $L$  ( $0 \leq x \leq L$ ), de largeur  $a$  ( $0 \leq y \leq a$ ), d'épaisseur  $b$  ( $-\frac{b}{2} \leq z \leq \frac{b}{2}$ ) et traversée par une densité de courant surfacique uniforme  $\vec{j} = j\vec{e}_x$ . Cette plaquette est plongée dans un champ magnétique extérieur perpendiculaire  $\vec{B} = B \vec{e}_z$ . A l'équilibre, la tension de Hall mesurée entre les 2 bords de largeur de la plaquette est  $U_H = 5.510^{-6}V$ .

- 1) Faire un schéma d'illustration,
- 2) Décrire le phénomène physique observé, commenter,
- 3) Donner l'expression de la force  $\vec{F}_m$  subit par les électrons
- 4) Sous l'effet de la force magnétique, les électrons sont déviés, donner la direction du champ électrique  $\vec{E}$  induit
- 5) En déduire l'expression de la force totale subit par les électrons
- 6) Déterminer l'expression du champ  $\vec{E}_H$  à l'équilibre en fonction de la vitesse  $v$  et  $B$
- 7) En déduire la valeur de  $v$  en fonction de  $I$ ,  $a$ ,  $b$  et la densité  $n_e$  des électrons,
- 8) Calculer le nombre  $n_e$  d'électrons en fonction de  $B, I, a, b$  et  $E_H$
- 9) En déduire le nombre  $n_e$  en fonction de  $U_H$ ; on donne:

$$M_{mole}(cu) = 63g, \quad B = 1T \text{ esla}, \quad b = 10^{-4}m, \quad \rho_{vol}(cu) = 9000kg/m^3$$

$$U_H = 5.510^{-6}V, \quad e = 1.610^{-19}C, \quad I = 10A, \quad N = 6.0210^{23} \text{ atomes/mole}$$

**Exercice IV:** *Interaction magnétique entre fil infini et un cadre*

Un fil rectiligne  $z'z$  de longueur infinie est parcouru par un courant d'intensité  $I_1$ . Dans un plan contenant  $z'z$ , on place un cadre carré  $ABCD$  indéformable, de côté  $a$ , parcouru par un courant  $I_2$ . Les côtés  $AB$  et  $CD$  sont parallèles à  $z'z$ . Soit  $y$  la distance qui sépare  $AB$  de  $z'z$ .

- 1) Faire un schéma,
- 2) Rappeler le champ magnétique  $\vec{B}_1$  créé par le fil  $z'z$
- 3) Déterminer la résultante des forces  $\vec{F}_{12}$  exercées par le fil sur le cadre
- 4) Retrouver l'expression de  $\vec{F}_{12}$  en utilisant la relation entre le travail et le flux magnétique

# 1 Solution de la série II

## Exercice I: Nappe plane de courant

1) schema d'illustration

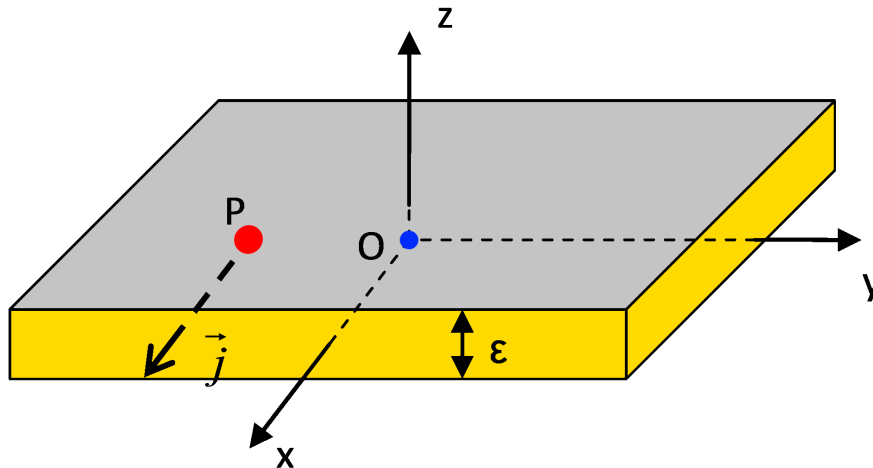


Figure 1: Nappe plane de courant  $\vec{J} = j_s \vec{e}_x$ .

2) Déterminer le champ d'induction magnétique  $\vec{B}$  en tout point  $M$  de l'espace  
 a) 2 symetries de translations: suivant x et y

$$\vec{B}(M) = \begin{pmatrix} B_x(z) \\ B_y(z) \\ B_z(z) \end{pmatrix}$$

b) direction de  $\vec{B}$

Le plan de la nappe (càd  $\Pi_s = xOz$ ) est un plan de symetrie, donc

$$\vec{B} \perp \Pi_s \Rightarrow \vec{B} = B(z) \vec{e}_z$$

3) Théorème d'Ampère

$$\oint_{\Gamma} \vec{B} \cdot d\vec{l} = \mu_0 I$$

a) la courbe d'Ampère  $\Gamma$  est un rectangle rectangle  $ABCD$  de surface  $S$ , dont le sens de parcours positif est comme indiqué sur la figure ??.

$$\text{surface de } ABCD = L_{AB} \times L_{BC} = \varepsilon \times L \quad , \quad \text{coté } BC=L$$

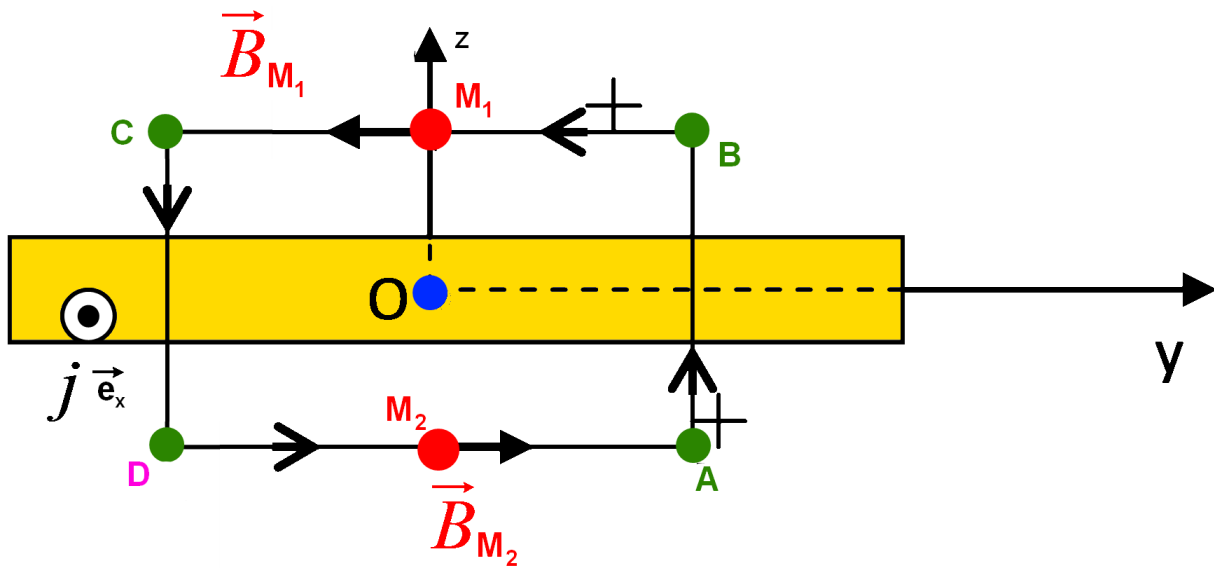


Figure 2: Contour d'Ampère.

Il passe par les points  $M_1$  et  $M_2$ , symétriques par rapport à la nappe  $b$ ) *Calcul de la composante  $B$*

i) calcul de  $\oint_{\Gamma} \vec{B} \cdot d\vec{l}$

$$\begin{aligned}
 \oint_{\Gamma} \vec{B} \cdot d\vec{l} &= \oint_{\Gamma} B dy \\
 &= \left( \int_A^B + \int_B^C + \int_C^D + \int_D^A \right) B \\
 &= \int_B^C B dy + \int_C^D B dy \\
 &= -\int_B^C B dy + \int_D^A B dy \\
 &= 2BL
 \end{aligned}$$

avec

$$\int_D^A dy = -\int_B^C dy = L$$

ii) calcul de  $I$

$$\begin{aligned}
 \mu_0 I &= \mu_0 \iint_S \vec{J} \cdot d\vec{S} \\
 &= \mu_0 J \times S, \quad \text{car } \vec{J} = J \vec{e}_x \\
 &= \mu_0 \underbrace{J \times \varepsilon}_{J_s} \times L = \mu_0 J_s \times L
 \end{aligned}$$

on a:

$$\begin{aligned}
 \mu_0 \iint_S \vec{J} \cdot d\vec{S} &= \mu_0 J \times S \\
 &= \mu_0 J \times \varepsilon \times L \\
 &= \mu_0 J_s \times L
 \end{aligned}$$

iii) résultat

$$\begin{aligned} 2BL = \mu_0 J_s L &\Rightarrow B = \frac{\mu_0 J_s}{2} = Cst \\ \vec{B}(M_1) &= -\frac{\mu_0 J_s}{2} \vec{e}_y \\ \vec{B}(M_2) &= \frac{\mu_0 J_s}{2} \vec{e}_y \end{aligned}$$

4)  $\vec{B}$  au point  $z = 0$

Au point O, origine de l'espace, on distingue 2 plans de symétrie de la nappe

$$xOy \quad \text{et} \quad xOz$$

donc  $\vec{B}$  doit être perpendiculaire à ces 2 plans, c'est à dire

$$\vec{B} = \begin{pmatrix} 0 \\ 0 \\ B \end{pmatrix} \quad \text{et} \quad \vec{B} = \begin{pmatrix} 0 \\ B \\ 0 \end{pmatrix}$$

par conséquent  $\vec{B}$  à l'origine O, et pour  $z = 0$  en général, ne peut être que nul

$$\vec{B}(z = 0) = \vec{0}$$

5)  $\vec{B}$  discontinue

$\vec{B}$  est tangent à la nappe de courant; il doit donc vérifier la relation de continuité

$$\vec{B}_{1T}(M) - \vec{B}_{2T}(M) = \mu_0 \vec{J}_s(M) \wedge \vec{n}_{21}$$

avec

$$\vec{n}_{21} \quad \text{la normale orienté de 2 vers 1}$$

Dans notre cas

$$\vec{J}_s(M) = J_s \vec{e}_x \quad \text{et} \quad \vec{n}_{21} = \vec{e}_z$$

$$\vec{B}_{1T}(M) - \vec{B}_{2T}(M) = \mu_0 J_s \vec{e}_x \wedge \vec{e}_z = -\mu_0 J_s \vec{e}_y$$

ce qui est en accord avec

$$\vec{B}_1(M) - \vec{B}_2(M) = -\frac{\mu_0 J_s}{2} \vec{e}_y - -\frac{\mu_0 J_s}{2} \vec{e}_y = -\mu_0 J_s \vec{e}_y$$

ou on a utilisé

$$\vec{B}(M_1) = -\frac{\mu_0 J_s}{2} \vec{e}_y \quad , \quad \vec{B}(M_2) = \frac{\mu_0 J_s}{2} \vec{e}_y$$

6) le potentiel vecteur  $\vec{A}$

a) symetrie de translation suivant x et suivant y

$$\vec{A} = \begin{pmatrix} A_x(z) \\ A_y(z) \\ A_z(z) \end{pmatrix}$$

b) direction de  $\vec{A}$ :

$yOz = \Pi_a$  est un plan d'antisymetrie

$$\vec{A} \perp \Pi_a \quad \Rightarrow \quad \vec{A}(z) = \begin{pmatrix} A_x(z) \\ 0 \\ 0 \end{pmatrix}$$

c) Expression de  $\vec{A}$

De la relation  $\vec{B} = \text{rot}\vec{A}$ , on obtient

$$\begin{vmatrix} 0 \\ B(z) \\ 0 \end{vmatrix} = \begin{vmatrix} \frac{\partial}{\partial x} \\ \frac{\partial}{\partial y} \\ \frac{\partial}{\partial z} \end{vmatrix} \wedge \begin{vmatrix} A(z) \\ 0 \\ 0 \end{vmatrix} = \begin{vmatrix} 0 \\ \frac{\partial A}{\partial z} \\ 0 - 0 \end{vmatrix}$$

d'où

$$A = \int B dz$$

Trois cas à distinguer:

(i)  $z > 0$

$$B(z) = -\frac{\mu_0 J_s}{2} \quad \Rightarrow \quad A(z) = -\frac{\mu_0 J_s}{2} z + C_1$$

(ii)  $z < 0$

$$B(z) = \frac{\mu_0 J_s}{2} \quad \Rightarrow \quad A(z) = \frac{\mu_0 J_s}{2} z + C_2$$

(iii)  $z = 0$

$$B = 0 \quad \Rightarrow \quad A(0) = C_3$$

7) cas où  $\vec{A}$  est nul à l'origine.

$$A(0) = C_3 = 0$$

la continuité de A exige que les constantes soient nulles,

$$\lim_{z \rightarrow 0^\pm} A(z) = 0 \quad \Rightarrow \quad C_1 = C_2 = 0$$

## Exercice II

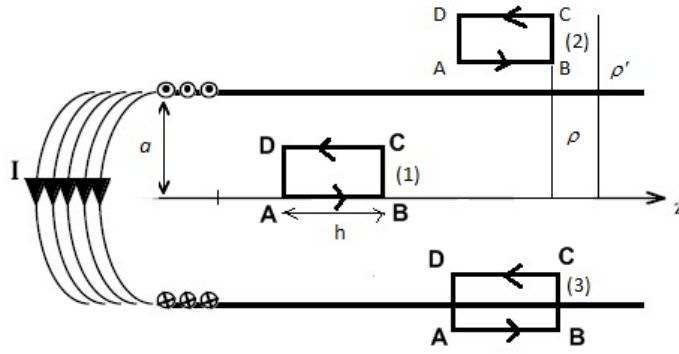


Figure 3: *théorème d'Ampère appliqué au solénoïde infini d'axe  $\vec{OZ}$*

1) schéma d'illustration: voir fig 3

2) règles de symétrie:

a) La symétrie cylindrique de  $\mathbb{S}$  implique:  $\vec{B}(M) = \vec{B}(\rho)$

b) La direction du champ  $\vec{B}$

$\Pi_s = (\vec{e}_\rho, \vec{e}_\varphi)$  est un plan de symétrie du solénoïde:

$$\vec{B} \perp \vec{e}_z \Rightarrow \vec{B}(\rho) = B(\rho) \vec{e}_z$$

3) expression explicite de  $\vec{B}$

a) courbe d'Ampère  $\Gamma$ :

rectangles ABCD comme dans la figure

Selon le choix de  $\Gamma$ , on distingue trois cas:

i) cas du contour (1)

Pas de courant qui traverse la surface délimitée par le contour,

$$\int \vec{B} \cdot d\vec{l} = 0$$

D'autre part, on a:

$$\begin{aligned} \int \vec{B} \cdot d\vec{l} &= \int_{AB} B \vec{e}_z \cdot d\vec{l} + \underbrace{\int_{BC} B \vec{e}_z \cdot d\vec{l}}_{=0} + \int_{CD} B \vec{e}_z \cdot d\vec{l} + \underbrace{\int_{DA} B \vec{e}_z \cdot d\vec{l}}_{=0} \\ &= \int_{AB} B dz - \int_{CD} B dz \\ &= (B_{AB} - B_{CD}) \times h \end{aligned}$$



Donc le champ  $\vec{B}$  à l'intérieur du solénoïde infini est uniforme

$$B_{AB} = B_{CD} = \mu_0 NI$$

ii) cas du contour (2)

On obtient le même résultat  $(B_{AB} - B_{CD}) \times h = 0$  que pour le cas précédent, c'est à dire un champ uniforme à l'extérieur. Mais comme ce champ doit être nul à l'infini, on en déduit qu'il est nul partout.

$$B_{AB} = B_{CD} = 0$$

on redécouvrera ce résultat dans le cas suivant.

iii) cas du contour (3)

Dans ce cas, la surface délimitée par le contour est traversée par  $N \times h$  courants entrants; par suite nous avons par un calcul similaire auparavant:

$$(B_{AB} - B_{CD}) \times h = -\mu_0 NI \times h \Rightarrow B_{AB} - B_{CD} = -\mu_0 NI$$

Comme on sait que le terme  $B_{CD} = \mu_0 NI$ , il en découle que le champ d'induction  $B_{AB}$  à l'extérieur du solénoïde est nul.

$$B_{AB} = 0$$

iv) Conclusion

$$\vec{B}(\rho) = \begin{cases} \mu_0 NI \vec{e}_z & , \quad 0 \leq \rho < R \\ 0 & , \quad \rho > R \end{cases}$$

4)  $\vec{B}$  est discontinue:

$$\vec{B}_{1T}(M) - \vec{B}_{2T}(M) = \mu_0 \vec{J}(M) \wedge \vec{n}_{21}$$

comme

$$\vec{n}_{21} = -\vec{e}_\rho, \quad \vec{j} = NI \vec{e}_\varphi$$

on a bien la relation

$$\begin{aligned} \vec{B}_{1T} - \vec{0} &= -\mu_0 NI \vec{e}_\varphi \wedge \vec{e}_\rho \\ &= \mu_0 NI \vec{e}_z \end{aligned}$$

5) En partant de la relation

$$\operatorname{div} \vec{B} = 0 \Rightarrow \vec{B} = \operatorname{rot} \vec{A}$$

par integration sur une surface  $S$  s'appuiant sur un contour  $C$ ,

$$\begin{aligned}\iint_S \vec{B} &= \iint_S \text{rot } \vec{A} \\ &= \oint_C \vec{A} \cdot \vec{dl}\end{aligned}$$

6) règles de symetries de la distribution de courant

a) La symétrie cylindrique de  $S$  implique:  $\vec{A}(M) = \vec{A}(\rho)$

La direction du champ  $\vec{A}$

$\Pi_a = (\vec{e}_\rho, \vec{e}_z)$  est un plan d'antisymétrie du solénoïde

$$\vec{A} \perp \vec{e}_\varphi \Rightarrow \vec{A}(\rho) = A(\rho) \vec{e}_\varphi$$

b) La courbe  $C$  est un cercle de rayon  $\rho$  et d'axe  $\vec{Oz}$

Justification, elle est dictée par la symétrie cylindrique car

$$\begin{aligned}\oint_C \vec{A} \cdot \vec{dl} &= \oint_C A \rho d\varphi \\ &= A \oint_C \rho d\varphi \text{ car } A \text{ ne dépend pas de } \varphi \\ &= 2\pi\rho A\end{aligned}$$

7) Le potentiel vecteur  $\vec{A}$  en tout point de l'espace

on applique la relation

$$\oint_C \vec{A} \cdot \vec{dl} = \iint_S \vec{B} \cdot \vec{dS}$$

ce qui conduit à:

$$\begin{aligned}A &= \frac{1}{2\pi\rho} \iint_S \vec{B} \cdot \vec{dS} \\ &= \frac{1}{2\pi\rho} \iint_S B \times \rho d\rho d\varphi\end{aligned}$$

2 cas à distinguer selon la valeur de  $\vec{B}$ ; càd:

$$\vec{B}(\rho) = \begin{cases} \mu_0 NI \vec{e}_z & , \quad 0 \leq \rho < R \\ 0 & , \quad \rho > R \end{cases}$$

On a:

i)  $\rho > R$

$$\begin{aligned}A(\rho) &= \frac{1}{2\pi\rho} \iint_S B \rho d\rho d\varphi \\ &= \frac{B}{2\rho} R^2 = \mu_0 NI \frac{R^2}{2\rho}\end{aligned}$$

ii)  $\rho < R$

$$\begin{aligned}A(\rho) &= \frac{1}{2\pi\rho} \iint_S B \rho d\rho d\varphi \\ &= \frac{B}{2} \rho = \mu_0 NI \frac{\rho}{2}\end{aligned}$$

**Exercice III: Effet Hall classique**

1) schéma d'illustration: voir fig 4,

un electron de la plaquette du plan xOy de vitesse  $\vec{v}$  se déplace suivant  $\vec{e}_x$  sous

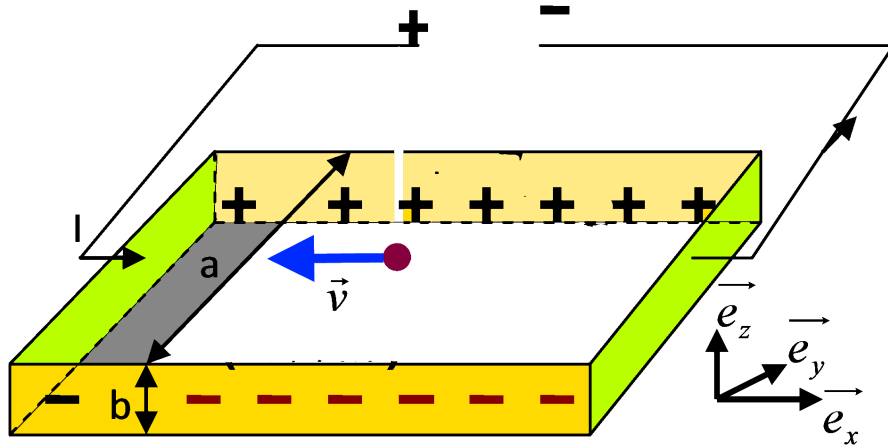


Figure 4: plaque rectangulaire normale à  $\vec{e}_z$  de largeur  $a$ , d'épaisseur  $b$  et de longueur suffisamment grande.

l'effet d'une ddp aux induite par la ddp aux bords  $x = 0$  et  $x = L$  de la plaquette fournie par un générateur de courant dont le sens est comme désigné sur la figure.

On a:

$$\vec{v} = v\vec{e}_x, \quad v = -|v| \text{ dans le schéma}$$

2) phénomène physique observé: Effet Hall

Cette effet a une version classique et une version quantique selon l'intensité du champ magnétique extérieur  $\vec{B}$ .

Pour des valeurs du champ magnétique  $\vec{B}$  relativement petites; le phénomène observé est comme suit, voir fig 5:

a) deviation des électrons sous l'action de  $\vec{B}$

b) naissance d'un déficit de charge électrique aux 2 bords de la plaquette

c) apparition d'une ddp aux 2 bords de la largeur de la plaquette: A l'équilibre cette tension est la tension de Hall  $U_H$  qui induit un champ électrique  $\vec{E}_H$

3) Force magnétique:

Sous l'effet de  $\vec{B}$ , l'électron de vitesse  $\vec{v} = v\vec{e}_x$  est soumis à la force

$$\begin{aligned} \vec{F}_m &= -e\vec{v} \wedge \vec{B}, & e &= |e| = 1.60217733 \times 10^{-19} \text{ C} \\ &= evB\vec{e}_y \end{aligned}$$

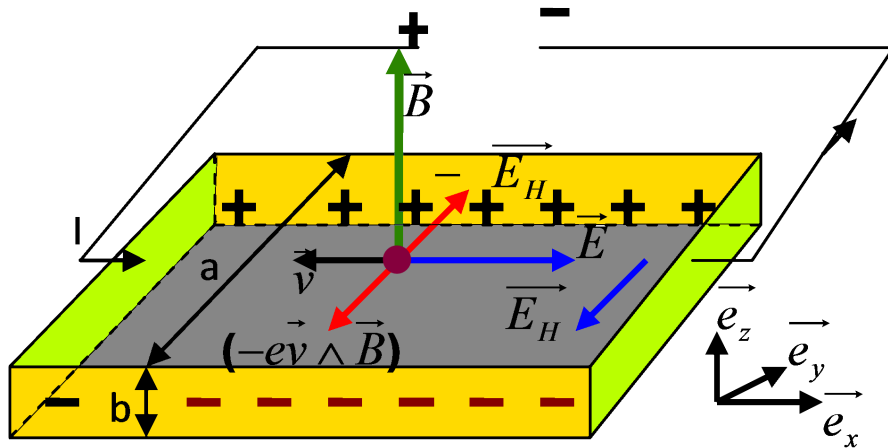


Figure 5: effet Hall classique: (i) déviation des charges sous l'effet du champ  $\vec{B}$ . (ii) naissance d'une ddp aux bornes de la largeur de la plaque

4) le déficit des charges entre les 2 faces  $y = 0$  et  $y = a$  crée une ddp

$$\Delta U = U_2 - U_1$$

et donc une champ électrique suivant  $\vec{e}_y$

$$\vec{E} = -\vec{\nabla}U = E\vec{e}_y$$

5) réaction par opposition à  $\vec{B}$

Le champ électrique  $\vec{E} = E\vec{e}_y$  agit à son tour sur l'électron par une force électrique

$$\vec{F}_{el} = -e\vec{E} = -eE\vec{e}_y$$

Cette force s'oppose à la force magnétique  $\vec{F}_m$  créée par  $\vec{B}$ .

L'expression de la force totale subit par l'électron est alors

$$\vec{F}_m + \vec{F}_{el} = (evB - eE)\vec{e}_y$$

6) Equilibre des forces  $\vec{F}_m$  et  $\vec{F}_{el}$  = Effet Hall, on a:

$$\vec{F}_m + \vec{F}_{el} = 0 \quad \Rightarrow \quad evB = eE$$

ce qui donne

$$E_H = vB, \quad \text{c'est la valeur du champ de Hall} \quad (1.1)$$

7) vitesse de déplacement des électrons:  $\vec{v} = -|v| \vec{e}_x$

elle est obtenue en calculant l'expression du courant électrique  $I$  de deux façons et en comparant les résultats.

a) D'une part

$$I = \int \vec{J} d\vec{S} = JS = Jab$$

soit

$$J = \frac{I}{ab}$$

ii) d'autre part

$$\begin{aligned} \vec{J} = \rho \vec{v} &= -ne\vec{v} = ne|v| \vec{e}_x \\ &= J\vec{e}_x \end{aligned}$$

ce qui donne

$$ne|v| = \frac{I}{ab}$$

d'où

$$|v| = \frac{I}{abne}$$

8) Le champ  $E_H$  découle de la relation

$$E_H = vB, \quad v = \frac{-I}{abne}$$

soit

$$E_H = \frac{-IB}{abne}$$

d'où

$$n = \frac{-IB}{eabE_H}$$

De la relation entre le potentiel électrique  $U$  et le champ

$$E = -\text{grad} U \quad \Longrightarrow \quad U = -\int \vec{E} \cdot \vec{dl}$$

on tire

$$\begin{aligned} U_H &= -\int \vec{E}_H \cdot \vec{dl} \\ &= -E_H \int_0^a dy \\ &= -aE_H \end{aligned}$$

9) Nombre de  $e^-$  par unité de volume et par atome de Cu:

de la relation

$$n = \frac{-IB}{ebaE_H}$$

on tire

$$n = \frac{IB}{ebU_H}$$

Application numérique

$$\begin{aligned} b &= 10^{-4}m & , & & \rho_{vol}(cu) &= 9000kg/m^3 \\ I &= 10A & , & & m_{mole}(cu) &= 63g \\ B &= 1Tesla & , & & e &= 1.610^{-19}C \\ U_H &= 5.510^{-6}V & , & & N &= 6.0210^{23} \text{ atomes/mole} \end{aligned}$$

$$\begin{aligned} n &= \frac{10A \times 1Tesla}{1.610^{-19}C \times 10^{-4}m \times 5.510^{-6}V} \\ &= 1.14 \times 10^{29} e^-/m^3 \end{aligned}$$

Le nombre d'atomes par  $m^3$

$$\begin{aligned} \frac{m_{vol} \times N}{m_{mole}} &= \frac{9000kg/m^3 \times 6.0210^{23} \text{ atomes/mole}}{63 \times 10^{-3}kg} \\ &= 8,6 \times 10^{28} \text{ atomes/m}^3 \end{aligned}$$

Le nombre d'électrons par atome est alors

$$\frac{1.14 \times 10^{29} e^-/m^3}{8,6 \times 10^{28} \text{ atomes/m}^3} = 1.33 e^-/\text{atome}$$

#### Exercice IV: interaction entre conducteurs

1) Schéma d'illustration

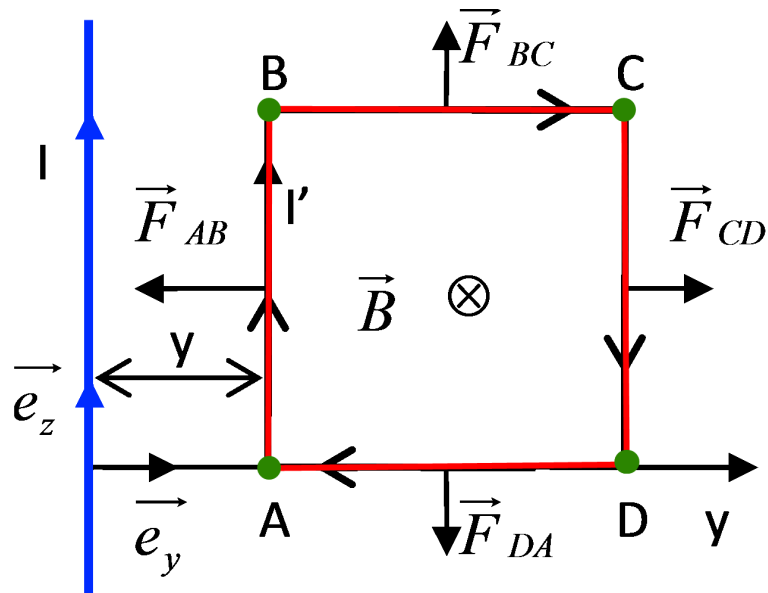


Figure 6: force magnétique exercée par un fil sur un cadre

2) Expression du champ  $\vec{B}_1$  créée par le fil

$$\vec{B}_1 = \frac{\mu_0 I_1}{2\pi\rho} \vec{e}_\varphi$$

3) Force  $\vec{F}_{12}$  exercée par le fil sur le cadre ABCD.

On a 2 conducteurs:

- Un fil infini parcouru par un courant  $I_1$  créant un champ magnétique  $\vec{B}_1$ ,
- Un cadre  $ABCD$  dans le plan  $(\rho, \varphi)$  parcouru par un courant  $I_2$  créant un champ magnétique  $\vec{B}_2$  :

En général on a:

Force  $\vec{F}_{12}$  exercée par  $\vec{B}_1$  sur le cadre  $ABCD$  parcouru par  $I_2$

Force  $\vec{F}_{21}$  exercée par  $\vec{B}_2$  sur le fil parcouru par  $I_1$

$$\vec{F}_{12} + \vec{F}_{21} = \vec{0}$$

Pour faire le calcul de  $\vec{F}_{12}$ , on prendra l'exemple où le cadre  $ABCD$  dans le plan  $yOz$ ; c'est à dire  $\varphi = \frac{\pi}{2}$ . Dans ce cas le plan  $(\vec{e}_\rho, \vec{e}_\varphi)$  coïncide avec  $(\vec{e}_y, -\vec{e}_x)$  càd:

$$\begin{aligned} \vec{e}_\rho &= \vec{e}_y \\ \vec{e}_x &= -\vec{e}_\varphi \end{aligned}$$

et

$$\begin{aligned} \vec{B}_1 &= -\frac{\mu_0 I_1}{2\pi y} \vec{e}_x \\ \vec{B}_1 &= \frac{-b}{y} \vec{e}_x, \quad b = \frac{\mu_0 I_1}{2\pi} \end{aligned}$$

Par définition la force  $\vec{F}_{12}$  exercée par  $\vec{B}$  sur le cadre est

$$\begin{aligned} \vec{F}_{12} &= \int_{ABCD} I_2 \vec{dl} \wedge \vec{B}_1 \\ &= \vec{F}_{AB} + \vec{F}_{BC} + \vec{F}_{CD} + \vec{F}_{DA} \end{aligned}$$

soit

$$\begin{aligned} \vec{F}_{AB} &= \int_{AB} I_2 \vec{dl} \wedge \vec{B}_1 \\ \vec{F}_{BC} &= \int_{BC} I_2 \vec{dl} \wedge \vec{B}_1 \\ \vec{F}_{CD} &= \int_{CD} I_2 \vec{dl} \wedge \vec{B}_1 \\ \vec{F}_{DA} &= \int_{DA} I_2 \vec{dl} \wedge \vec{B}_1 \end{aligned}$$

avec

$$\begin{aligned} \int_{AB} I_2 \vec{dl} \wedge \vec{B}_1 &= -I_2 b \int_0^a \frac{dz}{y} \vec{e}_z \wedge \vec{e}_x &= -I_2 \frac{ab}{y} \vec{e}_y \\ \int_{BC} I_2 \vec{dl} \wedge \vec{B}_1 &= -I_2 b \int_y^{y+a} \frac{dy}{y} \vec{e}_y \wedge \vec{e}_x &= I_2 b \ln \frac{y+a}{y} \vec{e}_z \\ \int_{CD} I_2 \vec{dl} \wedge \vec{B}_1 &= -I_2 b \int_a^0 \frac{dz}{y+a} \vec{e}_z \wedge \vec{e}_x &= I_2 \frac{ab}{y+a} \vec{e}_y \\ \int_{DA} I_2 \vec{dl} \wedge \vec{B}_1 &= -I_2 b \int_{y+a}^y \frac{dy}{y} \vec{e}_y \wedge \vec{e}_x &= -I_2 b \ln \frac{y+a}{y} \vec{e}_z \end{aligned}$$

Noter que

$$\vec{F}_{BC} = -\vec{F}_{DA}$$

La résultante des forces  $\vec{F}$  agissant sur le cadre est

$$\begin{aligned}\vec{F} &= \vec{F}_{AB} + \vec{F}_{CD} \\ &= -I_2 ab \left( \frac{1}{y} - \frac{1}{y+a} \right) \vec{e}_y \\ &= \frac{-\mu_0 I_1 I_2 a^2}{2\pi y(y+a)} \vec{e}_y\end{aligned}$$

Si le cadre était libre, il serait attiré vers le fil c'est-à-dire vers la région où est plus intense pour que le flux de B à travers le cadre soit maximum (*règle du flux maximal*)

#### 4) Autre méthode

Le travail des forces magnétiques pour un déplacement virtuel  $dy$  du cadre est:

$$dW = \begin{cases} \vec{F} \cdot \vec{dl} = F dy \\ I_2 d\Phi \end{cases} \Rightarrow F = I_2 \frac{d\Phi}{dy}$$

Le flux magnétique est

$$\begin{aligned}\Phi &= \iint \vec{B} \cdot \vec{dS} \\ &= - \iint (\vec{B} \cdot \vec{e}_x) dz dy \\ &= - \int_0^a dz \int_y^{y+a} \frac{-b dy}{y} \\ &= ab \ln \frac{y+a}{y}\end{aligned}$$

$$\begin{aligned}\frac{d\Phi}{dy} &= ab \left( \frac{1}{y+a} - \frac{1}{y} \right) = \frac{-\mu_0 I_1 a^2}{2\pi y(y+a)} \\ F &= \frac{-\mu_0 I_1 I_2 a^2}{2\pi y(y+a)}\end{aligned}$$